

Ondas unidimensionales

$f(x - vt)$ → onda recta → sin deformarse

$$\frac{\partial^2 \psi}{\partial x^2} - \frac{1}{v^2} \frac{\partial^2 \psi}{\partial t^2} = 0 \quad \text{Ec. ondas 1D (no dispersivas)}$$

lineal (en ψ)

$$\frac{\partial^2 \psi}{\partial x^2} - \frac{1}{v^2} \frac{\partial^2 \psi}{\partial t^2} = 0 \quad \text{3D.}$$

Ondas planas → caso particular

$$\vec{r} \in \mathbb{R}^3, \vec{s} = (s_x, s_y, s_z) \rightarrow \vec{s} \cdot \vec{n} = K \rightarrow \forall P \text{ plano} \rightarrow \psi = \text{cte}$$

$\leftarrow \rightarrow$ sandwich colores

$$1) \psi(x, y, z, t) = \psi(\vec{r}, \vec{s}, t)$$

2) sol. E. ondas

superficie → $\psi(r) = \text{cte} + \text{cte. } \sin$ → 3D → 1D planos en \vec{s}
 \rightarrow eje local → $\frac{\partial^2 \psi}{\partial r^2} - \frac{1}{v^2} \frac{\partial^2 \psi}{\partial t^2} = 0 \rightarrow$ onda de un dir. perpendicular

Ondas monocromáticas → armónica temporal

$$\begin{aligned} \psi(\vec{r}, t) &= A(\vec{r}) \cos(\omega t - \phi(\vec{r})) \quad \Delta g \in \mathbb{R} \\ &= \text{Re}[U(\vec{r})] \cdot e^{i\omega t} \quad u(\vec{r}) = A(\vec{r}) \cdot e^{-i\phi(\vec{r})} = \psi(\vec{r}, t) \end{aligned}$$

$$\rightarrow T = \frac{2\pi}{\omega} \rightarrow \text{freq. / color único}$$

$$\rightarrow \nabla^2 u(\vec{r}) + \frac{\omega^2}{v^2} u(\vec{r}) = 0 \quad \text{Ec. de Helmholtz (especiales)}$$

Onda monocr. → verifica Helmholtz

Ondas planas monocromáticas

→ doble periodicidad: espacial + temporal $\leftarrow \frac{e^{i\omega t}}{e^{i\vec{k} \cdot \vec{r}}}$.

$$\frac{\partial^2 \psi}{\partial r^2} - \frac{1}{v^2} \frac{\partial^2 \psi}{\partial t^2} = 0 \rightarrow \frac{\partial^2 u}{\partial r^2} + \frac{\omega^2}{v^2} u = 0 \rightarrow \text{A.A.S}$$

$$\psi(\vec{r}, t) = u(\vec{r}) e^{i\omega t} \rightarrow u(\vec{r}) = \frac{U(\vec{r}-\vec{z})}{\frac{\omega}{v}(t-\frac{\vec{z}}{v})}$$

$$\rightarrow \psi(\vec{r}, t) = A \cdot e^{i(\omega t - \frac{\omega}{v} \vec{r} \cdot \vec{s} - \delta)} = A \cdot e^{i(\omega t - K \vec{r} \cdot \vec{s})}$$

$K = n^{\circ}$ de ondas

fuentes de ondas → planos t fijo que determinan superficies fase de $Kz = \text{cte}$

Onda plana monocromática 3D → OP → t fijo, fuentes = fcc
 $\psi(\vec{r}, t) = A \cdot \exp[i(\omega(t - \vec{r} \cdot \vec{s}) - \delta)] \rightarrow \frac{\partial \psi}{\partial t} = A \cdot i(\omega(t - \vec{r} \cdot \vec{s}) - \delta) \rightarrow$

$$\rightarrow \psi(\vec{r}, t + T) = \psi(\vec{r}, t) \quad T = \frac{2\pi}{\omega} \rightarrow \text{periodicidad temporal} \quad \omega = \frac{2\pi}{T}$$

$$\rightarrow \psi(\vec{r} + \vec{s}, t) = \psi(\vec{r}, t) = \psi(\vec{r} + \vec{z}, t) \quad \vec{z} = \frac{2\pi}{K} \rightarrow \text{espacial} \quad K = \frac{2\pi}{\lambda}$$

$K \vec{s} \cdot \vec{r} = R \cdot \vec{r} \rightarrow \vec{R} = K \cdot \vec{s} \rightarrow$ vector de ondas, K : n° de ondas

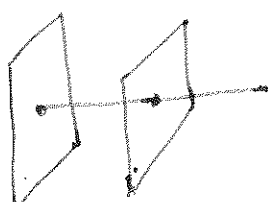
Velocidad fase OPAH

$$\frac{\Delta \phi}{\Delta t} = \frac{\omega}{K} = v_{\text{fase}} \rightarrow \phi_1 = \phi_2 \rightarrow \text{fb. sup. superficies parabólicas...}$$

curvatura wave → onda localmente plana

$$v_{\text{fase}} = \frac{\omega}{K} = \frac{2\pi/T}{2\pi/\lambda} = \frac{\lambda}{T} = \frac{c \omega \rho}{\rho \text{temp}}$$

Fig.



Ecuaciones de Maxwell

Si, macros, p. diferencia. T1B

$$\nabla \times \vec{H} = \vec{j} + \frac{\partial \vec{D}}{\partial t}$$

$$\nabla \times \vec{E} = -\frac{\partial \vec{B}}{\partial t}$$

$$\nabla \cdot \vec{D} = \rho$$

$$\nabla \cdot \vec{B} = 0$$

Relaciones constitutivas:

$$\vec{H} = \mu_0 (\vec{E}, \vec{B})$$

$$\vec{D} = \epsilon_0 (\vec{E}, \vec{B})$$

→ Dielectrinos:
~ lineales: $\vec{B} = \epsilon_0 \vec{E}$ → cargas asociadas a átomos, no cond. metal,
 $\vec{H} = \mu_0 \vec{B} \approx \frac{\vec{E}}{c}$ → no magnéticos, no intrínsecos, magnéticas cargas quietas

σ, ϵ, μ no dependen

$$\vec{j} = \sigma \cdot \vec{E}$$

Le posición: homogéneos, isotropo (σ escalar) → matriz: anisótropo

(reas \vec{B}/\vec{E} con ρ, \vec{j} → fuera región $\partial\Omega, \partial\vec{E}$ → Onda electromagnética)

Carga oscilante: antena

$$\rightarrow \nabla^2 \vec{E} - \mu_0 \epsilon_0 \frac{\partial^2 \vec{E}}{\partial t^2} = 0 \quad \epsilon = \frac{1}{\mu_0 \epsilon_0} \quad \mu_0 = 4\pi \cdot 10^{-7} N/A^2 \quad (1)$$

$$n^2 = \frac{1}{\mu_0 \epsilon_0} \quad \mu^l = \mu/\mu_0 \quad \rightarrow v = \frac{c}{\sqrt{\mu_0 \epsilon_0}} \quad \rightarrow n = \sqrt{\mu_0 \epsilon_0}$$

$$v = \frac{c}{n}, \quad n = \frac{c}{v} \quad \rightarrow \text{Gases } \approx 1$$

Líquidos ≈ 1.3

Sólidos ≈ 1.5

Diamante ≈ 2.9

$$\vec{D} = \epsilon_0 \vec{E} + \vec{P}$$

$$\vec{H} = \frac{\vec{B}}{\mu_0} - \vec{M}$$

$$\nabla^2 \vec{E} - \epsilon_0 \mu_0 \frac{\partial^2 \vec{E}}{\partial t^2} = 0$$

$$\nabla^2 \vec{H} - \epsilon_0 \mu_0 \frac{\partial^2 \vec{H}}{\partial t^2} = 0 \quad \text{OPM } H_0 \perp \vec{E}$$

$$\psi = \omega t - k^2 \cdot \vec{s} = \frac{2\pi}{\lambda}(\omega t - \vec{k} \cdot \vec{s}) \approx k_0(c_0 t - n r + \phi)$$

$$\partial_t \vec{E} = (ik_0 s_i) \vec{E} \rightarrow \frac{\partial^2}{\partial t^2} \vec{E} = -\omega^2 \vec{E} \quad \nabla^2 \vec{E} = -k^2 \vec{E} \quad \frac{\partial \vec{E}}{\partial t} = i \omega \vec{E}$$

$$\rightarrow \omega^2 = c^2 k^2 \rightarrow \text{RDisp. OP}$$

$$k_0 \vec{E} = \frac{n}{\epsilon_0} \vec{E} \times \vec{s} / \epsilon_0 \quad \vec{B} = \frac{n}{\epsilon_0} \vec{s} \times \vec{E}$$

$$\vec{E} \cdot \vec{s} = 0 \rightarrow \text{Ondas transversales}$$

$$\vec{B} \cdot \vec{s} = 0 \quad \text{OEH}$$

$$\text{Energía C. em.}$$

$$W = \frac{1}{2} \epsilon_0 (1/2 E^2 + \frac{1}{2} \mu_0 B^2) \Rightarrow \text{densidad } E \text{ (J/m}^3\text{)}$$

$$\text{Vector Poynting: } \vec{S}_p = \vec{E} \times \vec{H} = \text{flujos Eem}$$

$$\rightarrow \text{promedio temporal: } \langle S_p \rangle = \frac{1}{T} \int dt A(t)$$

$$\vec{S}_p = n \epsilon_0 c / E^2 \cos^2(\omega t - k r + \delta) \vec{s} > 0$$

$$\text{Intensidad/Irradiancia } I = \langle S_p \rangle = \frac{1}{2} n \epsilon_0 c / E^2 \cdot P \text{ (W/m}^2\text{)}$$

2. Equipo Maxwell

$$\int \vec{B} \cdot d\vec{l} = I_s + \epsilon_0 \frac{d\Phi_E}{dt}$$

$$\int \vec{E} \cdot d\vec{l} = -\frac{\partial \Phi_B}{\partial t} \quad \text{LF law}$$

$$\int \vec{D} \cdot d\vec{s} = Q_{ext} \quad \text{ley Gauss}$$

$$\int \vec{B} \cdot d\vec{s} = 0 \quad \text{ley Gauss magnética}$$

Aproximación geométrica de la ópt. EM.

Flujo $E \rightarrow$ rayos \rightarrow trazado fácil

$$\nabla^2 \tilde{E}w + \frac{w^2}{v^2} \tilde{E}w = 0 \rightarrow 0 \text{ Mon. componentes de flujo } w$$

$$(\nabla^2 + k_0^2 n^2) \tilde{E} = 0 \quad \tilde{E}(\vec{r}, t) = \tilde{E}_w(\vec{r}) e^{i\omega t} \quad \text{Ec. Helmholtz vectorial}$$

\rightarrow Aproximación escalar (m. homog.)

$$E_w(\vec{r}, t) = u(\vec{r}) \cdot \hat{u}$$

$$(\nabla^2 + k_0^2 n^2) u(\vec{r}) = 0 \quad \text{u cte, } \vec{\nabla} \cdot \vec{u} = 0 \rightarrow \text{no se compone en interfares, inhomogeneos}$$

\rightarrow única var. importante: flujo E , trayectoria, rayo

$$\text{m. inh: } x(\nabla^2 + k_0^2 n^2) u = 0 \rightarrow \text{s. part: OP}$$

$$\tilde{E}_w = u(\vec{r}) \hat{u}, \quad u(\vec{r}) = A \cdot e^{-ik_0 r} \quad \text{onda no plana } g(\vec{r}) = \ell, \text{ curvatura}$$

\rightarrow cada punto: plano tangente \approx Taylor 1^{er} orden

\hookrightarrow frente ondas lo salvo plano en entorno

$$(\nabla^2 + k_0^2 n^2) u(\vec{r}) = 0, \quad \tilde{E}(\vec{r}, t) = \tilde{E}_w(\vec{r}) \cdot e^{i\omega t}, \quad \tilde{E}_w(\vec{r}) \approx u(\vec{r}) \cdot \hat{u}$$

$$u(\vec{r}) = A(\vec{r}), \quad e^{-ig(\vec{r})}, \quad g(\vec{r}) = \ell, \quad T_{\vec{r}_0} \equiv \text{plano tangente a } g(\vec{r}) \text{ en } \vec{r}_0$$

$$\Rightarrow D\lambda(\vec{r}_0) = \{ \vec{r} \in T_{\vec{r}_0} / |\vec{r} - \vec{r}_0| \leq \lambda \} \rightarrow g(\vec{r}_0) = \ell \text{ y } g'(\vec{r}_0)$$

Onda monoc. localmente plana glob. inh, loc. hom., sup. wave fronte λ

$$1) \quad \vec{r} \in D\lambda(\vec{r}_0) \rightarrow u(\vec{r}) \approx u(\vec{r}_0) \quad \lambda \text{ (distancia óptima)} \quad \xrightarrow{\lambda \rightarrow 0}$$

$$2) \quad \rightarrow g(\vec{r}) = g(\vec{r}_0) + (\vec{r} - \vec{r}_0) \vec{\nabla} g(\vec{r}_0) \quad \text{frecuencias estacionarias}$$

$$3) \quad \rightarrow A(\vec{r}) = A(\vec{r}_0)$$

$$u(\vec{r}) \approx A(\vec{r}_0) \cdot e^{-ig(\vec{r}_0)} \cdot e^{-(\vec{r} - \vec{r}_0) \vec{\nabla} g(\vec{r}_0)} = \hat{A}(\vec{r}_0) \cdot e^{-i\vec{r} \vec{\nabla} g(\vec{r}_0)}$$

$$v(\vec{r}) = \hat{A} \cdot e^{-i\vec{n}(\vec{r}_0) k_0 \vec{r}} \rightarrow |\vec{\nabla} g(\vec{r}_0)|^2 = n^2 \quad \forall \vec{r} \rightarrow \vec{r}$$

$$\rightarrow \vec{\nabla} g(\vec{r}_0) = n(\vec{r}_0) k_0 \vec{s} \rightarrow |\vec{\nabla} s|^2 = n^2 / k_0^2 \rightarrow |\vec{\nabla} s(\vec{r})| = n(\vec{r})$$

$$\text{Función Eikonal: } s(\vec{r}) = \frac{g(\vec{r})}{k_0}$$

4) Superficies = S para OLP dadas por $s = \text{cte}$

5) $\vec{\nabla} s(\vec{r}_0) \parallel \vec{s}$: si de una OLP en entorno \vec{r}_0

6) $|\vec{\nabla} s| = n$

$$\vec{s} \sim \vec{\nabla} s(\vec{r}_0) \quad \text{opuesta: } \vec{s}_i = \vec{s}_j$$

7. cont. diformable $\vec{s} \parallel \vec{\nabla} s(\vec{r}_0)$ (relieves)

reloj binocular tangentes-normales, cond. matemática:

tangentes cada punto/trayectoria paralelos a S local

$|\vec{dr}| \rightarrow ds = \text{desplazamiento sobre } S$ $ds^2 = dx^2 + dy^2 + dz^2$

$$\left[\frac{ds}{ds} = \vec{s} \right] \text{ Ecuas de la trayectoria} \rightarrow + \text{cónicas } r(s_0) = r_0 \rightarrow \text{dif. trayectoria q. pasa x } \vec{r}_0 \text{ y sigue } S \text{ en}$$

$$n \frac{dr^2}{ds} \rightarrow \vec{\nabla} s \cdot ds = \vec{\nabla} s \cdot \vec{dr}, \quad n \cdot \vec{s} = |\vec{\nabla} s| \vec{s} = \vec{\nabla} s \quad \frac{ds}{ds} = n \quad \text{y sigue } S$$

$$\frac{ds}{ds} (n \cdot \frac{dr^2}{ds}) = \vec{\nabla} s \quad n = n(x, y, z) \rightarrow x(s), y(s), z(s)$$

$$\frac{ds}{ds} (n \vec{s}) = \vec{\nabla} s$$

$$(\vec{\nabla} s \cdot \frac{dr^2}{ds}) \frac{ds}{ds} + n \frac{d^2 s}{ds^2} = \vec{\nabla} s$$

rayos no se cruzan
 $S \parallel J \rightarrow \frac{ds}{ds}$

Medio inhomogéneo estratificado

$\rightarrow n(y)$

$$\frac{d(nS)}{ds} = \frac{dn}{dy} S$$

Conservación del pleno de propagación: $\vec{C} = \vec{j} \times d\vec{n}^S \rightarrow \text{cte}$

$\rightarrow n(y) \sin(\gamma) = q$: Relación de Bouguer

$$(\frac{dy}{dx})^2 = \frac{n^2 - 1}{c^2} \rightarrow \frac{dy}{dx} = \omega + E$$

$$\frac{d^2y}{dx^2} = \frac{1}{c^2} \frac{dn^2(y)}{dy} \rightarrow \ddot{x} = -\frac{d\omega}{dx}$$

punto de retorno: $n^2 = c^2$ \rightarrow retroceso

discontinuidad: $n_1 \sin \theta_0 = n_2 \sin \theta_1 \rightarrow$ ley de Snell

Camino óptico

$dL = n ds$, $L_{12} = \int n \cdot ds$ $n(r(s)) \rightarrow$ cada trayectoria, perimetros

Onda localmente plana: $ds = dL$ (sobre la trayectoria)

$$ds^2 = \sqrt{k ds^2} \quad (\text{xa cualquier ptaj})$$

otro punto
puntos mjs sups

$$\delta(r, t) = w(t-t_0) + \delta(r/t_0) = \phi - w(t-t_0)$$

S dif. exacta: \rightarrow si dominio simplemente conexo $\Delta S = S_2 - S_1 \quad \forall C$
 $\oint ds = 0 \quad \forall C \quad S_{12} = L_{12}$ (sobre tray.)



T de Malus-Doppler ($\lambda \rightarrow \infty$)

$$\frac{1}{L_{FB}} = \frac{1}{L_{FA}} \Rightarrow S_F = S_A, t_{FA} = t_{FB} \quad \frac{1}{L_{FB}} = \frac{1}{L_{FB}}$$



$L_{FB} = \text{cte} \rightarrow$ determina superficie de fase

homog: $L_{FB} = n R = \text{cte} \rightarrow$ sfera

T² de Fermat

Trayectoria entre A, B / $\min(t_{AB}) = \min(L_{AB}) \quad t_{AB} = \frac{L_{AB}}{c}$

$\Rightarrow \delta L_{AB} = 0 \rightarrow$ extrema

$$\frac{\partial}{\partial x_j} \left(\frac{1}{c} \right) = \frac{a_j}{c^2} \rightarrow \frac{dx}{dt} = \frac{da}{dt} \rightarrow y(x), ds = dx \sqrt{1 + (\frac{dy}{dx})^2}$$

$$L = n \cdot ds \quad \delta L = \int n(x) \frac{1}{c} \frac{dx}{\sqrt{1 + (\frac{dy}{dx})^2}}$$

$$x = x_0 + \int_0^x \frac{1}{n(x')} dx'$$

$$\int n(x(x)), y(x), z(x)) \frac{dx}{\sqrt{\frac{(dx)^2}{dt} + (\frac{dy}{dx})^2 + (\frac{dz}{dx})^2}}$$

(absl.)

Representación óptica

Sistema óptico: Conjunto superficies que separan medios diferentes ópticos

↳ simetría de revolución

↳ sistemas centrados \Rightarrow superficies alineadas

↳ macroscópico o punto imagen, o punto objeto $\rightarrow \frac{1}{f} = \frac{1}{v} + \frac{1}{u}$

esféricas

asféricas \rightarrow órbitas

alteraciones

Sistema estigmático:

$$\angle_{0'1} = \angle_{0'm}$$

Se comporta st. d. para s par de puntos O, O' si todos los rayos que salen de O pasan real o virtualmente por O' después de atravesar el sistema. : conjugar

Espacios objeto e imagen

- El conjunto de todos los puntos que ocupan actuar como objeto de un sistema óptico es llamado espacio objeto. \rightarrow puntos espaciales
- El espacio imagen es el conjunto de puntos transformados del espacio objeto por la acción del S.O. \rightarrow recipientes lejanos

S. óptico perfecto (3 condic. a exigir)

- ① A un plano normal al eje del sistema que contiene al objeto le corresponde también un plano normal al eje que " sea la imagen. \Rightarrow copia
 - ② Todos los rayos que entran en el S.O. procedentes de un punto cualquiera del plano objeto, sea éste real o virtual, pasan por un punto del plano imagen (cond. estigm.)
 - ③ Cualquier figura que esté contenida en el plano objeto se transfiere mediante el S.O. en una figura similar (símilitud geométrica) en el plano imagen. La razón de semejanza es la misma para cualquier par de figuras conjugadas contenidas en esos planos.
- f(1), policonica \Rightarrow dispersión cromática
 → cada condición que no se cumple \Rightarrow alteración

SOP \rightarrow Optica geométrica paraxial

OGP → S. centrado de rotación en zona paraxial

→ las hacia la derecha

criterio signos: DIN 1335

- distancias axiales $\oplus \leftrightarrow$ sentido propagación
 - alturas verticales $(+)\uparrow$ desde vértice dióptico: S
 $(+)\downarrow$ " al eje óptico \leftrightarrow
 - ángulos desde el rayo \angle Dióptro esférico a la normal \leftrightarrow

$$\text{Ec. de Langue: } n! \alpha^{-1} - n\alpha = (n! - n) \alpha = (n! - n) \frac{k}{r}$$

$$\text{Invariante de Möb: } n \left(\frac{1}{r} - \frac{1}{s} \right) = n' \left(\frac{1}{r'} - \frac{1}{s'} \right)$$

Ecuación de conjugación para el dioptrio inferior (paraxial): $-\frac{v}{f} + \frac{u'}{f'} = (n^l - n) \frac{1}{r}$ → cumple cond. si óptico perfecto

$$\text{Elemento lateral: } B = \frac{y'}{y} = \frac{n's}{n's}$$

$$\text{Invariente de Lagrange-Helmholtz: } ny_0 = ny' + \frac{1}{2} \sum_{i=1}^n \frac{\partial f_i}{\partial x_i} = D_2$$

Elementos cardinales

Elementos cardinales

Planos focales :- cualquier rayo del has paralelo pasa x abq imagen  F1

- rayos paralelos provienen de foco objeto  F2

Planes principales.

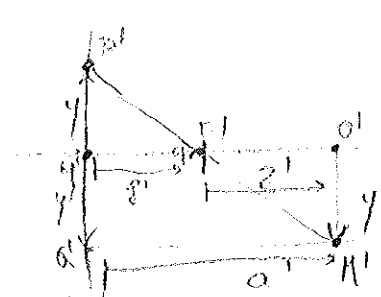
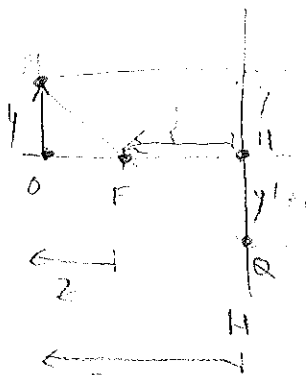
Si en H entra rayo a una altera h, sale a salto por H.

los planos conjugados / $B^1 = 1$ | Planos nodales: $B^1 = 1$
antiprincipales: $B^1 = -1$

→ Relx de conjugd cuando S.O. representado por ejes cardinales

• Diophantine: $H \equiv S \equiv H$

$$\rightarrow f' = \frac{uv'}{u^2 u_0} \Rightarrow f = \frac{uv}{u^2 - u_0} \Rightarrow f = -\frac{v}{u} + C$$



Ecuación de conjugación de Newton:

$$zz' = f \cdot g^{-1} = -\frac{n}{2} f'^2$$

Ecuación de conjugación de Baes:

$$-\frac{u}{a} + \frac{u'}{a'} = \frac{u''}{a''}$$

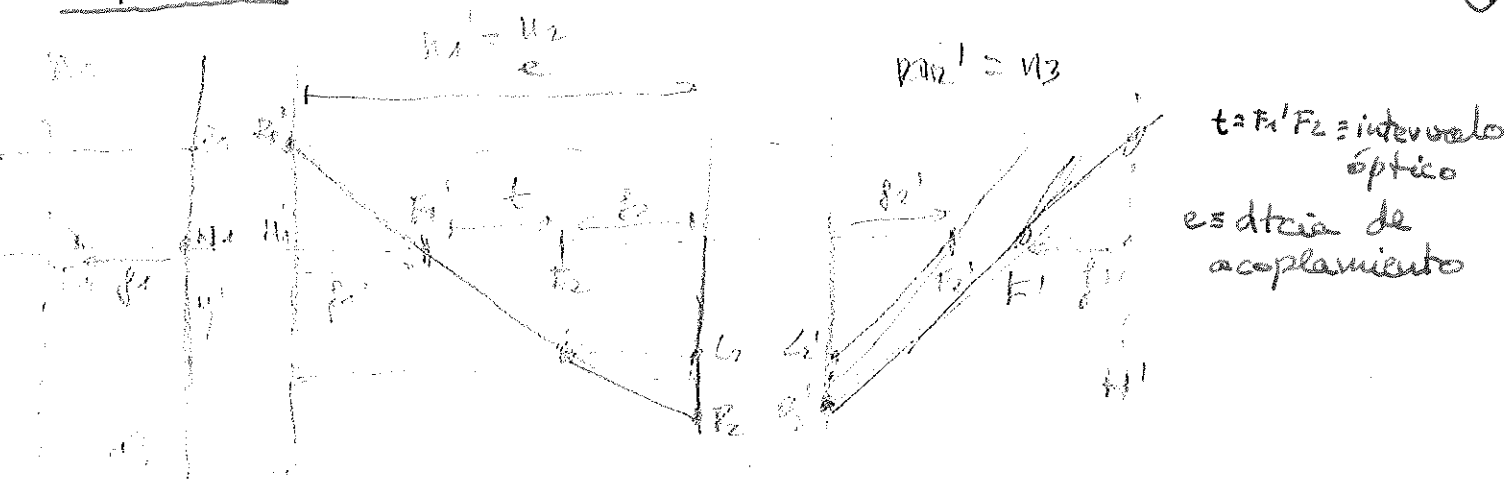
$$e \rightarrow \text{respects } a \text{ if } f^{\beta^1} = \frac{n'a'}{n'a}$$

$$\text{Espejo esférico: } \frac{1}{s} + \frac{1}{s'} = \frac{2}{r}$$

Lente óptica convergente $f' > 0 \rightarrow$ crea un dcha en la superficie a $F' > 0$

Acoplamiento (e)

(7)



$t = f_1' + f_2' = \text{intervalo óptico}$
 $e = \text{distancia de acoplamiento}$

$$\frac{1}{f'} = \frac{1}{f_1'} \frac{n_2}{n_1} + \frac{1}{f_2'} - \frac{e}{f_1' f_2'}, \quad e = u_1' u_2 = d$$

$$M_2' M_1' = \frac{-e f_2'}{e - f_1' + f_2'} = -\frac{e' e}{f_1' e} = \frac{f_2' e}{t}, \quad f' = \frac{f_1' f_2'}{t}$$

$$M_1 M_2 = \frac{e f_1}{e - f_1' + f_2} = \frac{f_1 e}{t} = \frac{f e}{f_2}, \quad \varphi' = \frac{n_2}{n_1} \varphi_1' + \varphi_2' - e \varphi_1' \varphi_2'$$

$$f = -\frac{n_1}{n_2} f'$$

→ constructor de lentes

* Si $n_1 = n_2 = 1, n_2 = n$

$$\varphi_1' = \frac{1}{f_1'} = \frac{n-1}{n n_1}$$

$$\frac{1}{f_1'} = (n-1) \left(\frac{1}{r_1} - \frac{1}{r_2} \right) + \frac{(n-1)^2}{n} \frac{d}{n r_2}$$

$$\varphi_2' = -\frac{n-1}{r_2} = \frac{1}{f_2'}$$

$$\text{Lente delgada: } d \rightarrow 0 \quad \frac{1}{f_1'} = (n-1) \left(\frac{1}{r_1} - \frac{1}{r_2} \right)$$

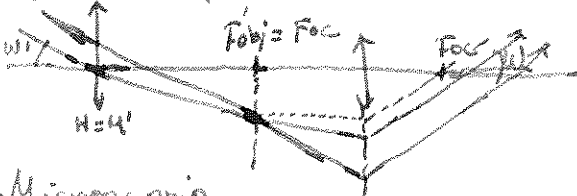
$$\overline{M_2' M_1'} = \frac{r_2 d}{n(r_1 - r_2) - (n-1)d}$$

$$\overline{M_1 M_2} = \frac{r_1 d}{n(r_1 - r_2) - (n-1)d}$$

Telescopio

sistema afocal, no tiene foco f' , cualquier haz paralelo → otro haz II

$$|f'_\text{obj}| > f_\text{oc} \Rightarrow w_1 < w_2 \Rightarrow f' = -\frac{f'_\text{obj}}{f_\text{oc}} < -1$$



Microscopio

Óptica matricial

T 2 B

$$\begin{pmatrix} h' \\ \sigma' \end{pmatrix} = M \begin{pmatrix} h \\ \sigma \end{pmatrix}$$

$$p' = \frac{h'}{h}$$

Refracción:

$$\begin{pmatrix} 1 & 0 \\ \frac{n'-n}{n'n} & \frac{n}{n'} \end{pmatrix}$$

Traslación:

$$\begin{pmatrix} 1 & -d \\ 0 & 1 \end{pmatrix} \xrightarrow{d_1 > 0}$$

Transferencia:

$$\begin{pmatrix} n & 0 \\ 0 & s' \end{pmatrix} \begin{pmatrix} 1 & -s' \\ 0 & 1 \end{pmatrix} \begin{pmatrix} 1 & 0 \\ p' & \frac{n}{n'} \end{pmatrix} \begin{pmatrix} 1 & s \\ 0 & 1 \end{pmatrix}$$

referencias

ver ejes matriciales alternativos, otras equivalentes / teoría → ~~Eulerian, Poincaré, etc., (y) visual / reflejante, ligeras~~
Matrices Difusión

2

ejercicios

T.3 - Polarización

$$E_i(\vec{r}, t) = E_{0i} \cos(\omega t - k\vec{r}\cdot\hat{s} + \delta_i) \rightarrow E_i^l = 0 \quad \begin{matrix} i \\ \vec{r} \end{matrix} \xrightarrow{k \in \mathbb{R}}$$

$$E_x(t) = E_{0x} \cos(\omega t + \phi_x) \rightarrow \rho_i = \delta_i - k\vec{r}\cdot\hat{s}$$

$$E_y(t) = E_{0y} \cos(\omega t + \phi_y) \quad \vec{r} \text{ fijo}$$

$$\left(\frac{E_x}{E_{0x}}\right)^2 + \left(\frac{E_y}{E_{0y}}\right)^2 - 2 \cos\phi \frac{E_x E_y}{E_{0x} E_{0y}} = \sin^2\phi \quad \text{Elipse de polarización}$$

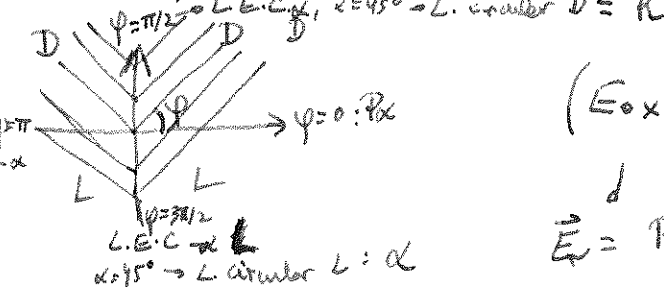
$\Delta = \text{forma quadrática}$

$$\det \Delta = \frac{\sin^2\phi}{E_{0x}^2 E_{0y}^2} \geq 0$$

$$\zeta = -E_{0x} E_{0y} \omega \sin\phi \rightarrow [0, \pi] \rightarrow \text{dextrógiro}$$

$$[\pi, 2\pi] \rightarrow \text{levógiro}$$

$$\tan\alpha = \frac{E_{0y}}{E_{0x}}, \tan 2\psi = \tan 2\alpha \cos\phi \quad \begin{matrix} \alpha \text{ diagonal } \vec{x} \\ \psi \text{ eje mayor } \vec{x} \\ \beta \text{ eje menor } \vec{y} \end{matrix}$$



$$(E_{0x}, E_{0y}, \phi)$$

$$\vec{E} = \text{Re} \left\{ \begin{pmatrix} E_{0x} e^{i\phi_x} \\ E_{0y} e^{i\phi_y} \end{pmatrix} e^{i\omega t} \right\} = \text{Re} \{ \vec{E} \}$$

$$\frac{\text{Time}}{\text{Time}_{\max}} = \frac{t}{t_{\max}}$$

Vectores de Jones

$$\vec{E} = \begin{pmatrix} E_{0x} e^{i\phi_x} \\ E_{0y} e^{i\phi_y} \end{pmatrix} = e^{i\phi_x} \begin{pmatrix} E_{0x} \\ E_{0y} e^{i\phi_y} \end{pmatrix} \sim \begin{pmatrix} E_{0x} \\ E_{0y} e^{i\phi} \end{pmatrix}$$

$$E_N = \frac{1}{\sqrt{E_{0x}^2 + E_{0y}^2}} \begin{pmatrix} E_{0x} \\ E_{0y} e^{i\phi} \end{pmatrix} = \begin{pmatrix} \cos\alpha \\ \sin\alpha e^{i\phi} \end{pmatrix} \quad \begin{matrix} \rightarrow \text{si no te preocupa Int} \rightarrow 2 \text{ grados lib.} \\ \alpha, \phi \end{matrix}$$

$$\langle E_1 | E_2 \rangle = E_1 \cdot E_2 \quad \vec{E} \rightarrow \Delta \rightarrow \vec{E}' \quad \begin{matrix} D = (\cos\alpha) \mathbb{1} & L = (\cos\alpha) \mathbb{1} \\ (-i\sin\alpha) & (-i\sin\alpha) \end{matrix} \rightarrow R = \frac{1}{\sqrt{2}} \begin{pmatrix} 1 & i \\ 1 & -i \end{pmatrix}$$

$$P_L = \begin{pmatrix} \cos\alpha \\ \sin\alpha \end{pmatrix} \quad P_R = \begin{pmatrix} \cos\alpha \\ -\sin\alpha \end{pmatrix} \quad \alpha = \frac{1}{\sqrt{2}} \begin{pmatrix} 1 & i \\ 1 & -i \end{pmatrix}$$



Polarizadores y retardadores

$$A|\Psi_1\rangle = \lambda_1 |\Psi_1\rangle \quad \rightarrow A = 2\lambda_1 |\Psi_1\rangle \langle \Psi_1| + 2\lambda_2 |\Psi_2\rangle \langle \Psi_2|$$

$$A|\Psi_2\rangle = \lambda_2 |\Psi_2\rangle \quad \begin{matrix} P_L \\ P_R \end{matrix}$$

$$\langle \Psi_i | \Psi_j \rangle = \delta_{ij} \quad P_i: \text{proyector} \begin{pmatrix} E_{0x}^2 & E_{0x} E_{0y}^* \\ E_{0y} E_{0x}^* & |E_{0y}|^2 \end{pmatrix} \quad P_L = P_L^2 \text{ idempotente}$$

Matriz de Jones

$$A_{PL} = \begin{pmatrix} \cos^2\alpha & \sin\alpha \cos\alpha \\ \sin\alpha \cos\alpha & \sin^2\alpha \end{pmatrix} \rightarrow \text{Polarizador lineal L.T.} \quad \text{polarizador general: } A = |\Psi_1\rangle \langle \Psi_1|.$$

$$A_{CR} = \frac{1}{2} \begin{pmatrix} 1 & -i \\ i & i \end{pmatrix} \rightarrow \text{Polarizador circular D} \quad \rightarrow \text{Base LR: } \begin{pmatrix} 1 & 0 \\ 0 & 0 \end{pmatrix} \quad \begin{matrix} \text{Polarizaciones} \\ \text{L.R.} \rightarrow \text{antidiagonal} \end{matrix}$$

$$A_{LR} = \begin{pmatrix} 1 & 0 \\ 0 & 0 \end{pmatrix} \quad \begin{matrix} \text{Polarizaciones} \\ \text{L.R.} \rightarrow \text{vertical } \text{L.R.} \end{matrix}$$

$$R = |\Psi_1\rangle \langle \Psi_1| + e^{i\delta} |\Psi_2\rangle \langle \Psi_2| \quad \begin{matrix} \text{que filtra} \\ \text{efecto} \end{matrix}$$

$$\text{dómines retardadores: } R(\alpha, \delta) P_L = P_L, R(P_R \pi/2) e^{i\delta} P_{L+\pi/2}$$

$$\rightarrow \begin{pmatrix} \cos^2\alpha + e^{i\delta} \sin^2\alpha & (1-e^{i\delta}) \cos\alpha \sin\alpha \\ (1-e^{i\delta}) \cos\alpha \sin\alpha & e^{i\delta} \cos^2\alpha + \sin^2\alpha \end{pmatrix} \quad \begin{matrix} \text{que varía con } P_L \text{ y } P_R \\ \text{y } P_L \text{ y } P_R \end{matrix}$$

$$\text{dómines retardadores: } \alpha \rightarrow \lambda/2 \rightarrow \delta = \pi \quad \begin{matrix} \text{que varía con } P_L \text{ y } P_R \\ \text{y } P_L \text{ y } P_R \end{matrix}$$

$$\text{media onda: } \alpha \rightarrow \lambda/4 \rightarrow \delta = \pi/2 \quad \begin{matrix} \text{que varía con } P_L \text{ y } P_R \\ \text{y } P_L \text{ y } P_R \end{matrix}$$

$$\text{cuarto onda: } \alpha \rightarrow \lambda/4 \rightarrow \delta = \pi/2$$

Albert

$n = 0,065$

Soriano

Modelo Lorentz ✓

* Óptica metálica

* Medios no autor.

Young Σ abertura ✓

Young simple ✓

* Cohesión temp.

Formulas de Ray ✓

* Multicapas fideliz. ✓

Fab - Perot ✓

* Ec. Hahn ✓

* Aproximación paraxial ✓

Definición Fraunhofer ✓

$$\sum_{n=0}^N r^n = \frac{r^{n+1} - 1}{r - 1}$$

$$d = \alpha r^{n+1 - 1}$$

$$m \frac{m}{2} \cdot n = N m^2 \frac{m}{2} \cdot n + \frac{m}{2} \cdot n$$

Medios isótropos

$$\textcircled{1} \quad \vec{E}_{\text{ci}} \cdot e^{i(\omega t - k \cdot \vec{r})} + \vec{E}_{\text{or}} e^{i(\omega' t - k' \cdot \vec{r})}$$

$$\textcircled{2} \quad \vec{E} = \vec{E}_\perp + \vec{E}_\parallel \text{ plan. incid.}$$

\rightarrow Componentes paralelas interfase $\rightarrow E_\perp$

 $\forall t, t \rightarrow w = w' = w'' \rightarrow k_x = k'_x = k''_x \rightarrow k_y = 0 \rightarrow K_x =$
 $\Rightarrow \boxed{\vec{B}_0 = \frac{n}{c} \vec{s} \times \vec{E}_0}$
 $\hookrightarrow B_{0x} + B_{0x}'' = B_{0x}' \quad , \quad E_0 + E_0'' = E_0'$

E_\parallel

 $\hookrightarrow B_0 + B_0'' = B_0' \quad , \quad E_{0x} + E_{0x}'' = E_{0x}'$
 $\Rightarrow r_{\parallel} = \frac{n' \cos \epsilon - n \cos \epsilon'}{n' \cos \epsilon + n \cos \epsilon'} = \frac{\tan(\epsilon - \epsilon')}{\tan(\epsilon + \epsilon')}$
 $t_{\parallel} = \frac{2n \cos \epsilon}{n' \cos \epsilon + n \cos \epsilon'} = \frac{2 \sin \epsilon' \cos \epsilon}{\sin(\epsilon + \epsilon') \cos(\epsilon + \epsilon')}$
 $\epsilon = \begin{pmatrix} \Delta \parallel \\ A \parallel \end{pmatrix} \rightarrow \epsilon'' = \begin{pmatrix} r_{\parallel} \Delta \parallel \\ r_{\perp} A \perp \end{pmatrix}, \quad \epsilon' = \begin{pmatrix} t_{\parallel} \Delta \parallel \\ t_{\perp} A \perp \end{pmatrix}$

$$\tan \epsilon = \frac{|K_x|}{|K_z|} \rightarrow \text{Ley reflexión}$$

$$\tan \epsilon' = \frac{|K_x|}{|K_z'|} \rightarrow |K_z| = |K_z'| \rightarrow \epsilon = \epsilon'$$

$$\rightarrow \sin \epsilon = \frac{|K_x|}{|K_z|} \rightarrow \text{Ley Snell}$$

$$\sin \epsilon' = \frac{|K_x|}{|K_z'|} = \frac{n}{n'} \frac{|K_x|}{|K_z|}$$

coeficientes de Fresnel:

$$r_{\parallel} = \frac{\Delta \parallel}{A \parallel}, \quad t_{\parallel} = \frac{A \parallel}{\Delta \parallel}$$

$$r_{\perp} = n \cos \epsilon - n' \cos \epsilon' = - \frac{\sin(\epsilon - \epsilon')}{\sin(\epsilon + \epsilon')}$$

$$t_{\perp} = \frac{2n \cos \epsilon}{n' \cos \epsilon + n \cos \epsilon'} = \frac{2 \sin \epsilon' \cos \epsilon}{\sin(\epsilon + \epsilon') \cos(\epsilon + \epsilon')}$$

sólo r_{\parallel} cambia signo!

$n < n'$ \rightarrow reflexión externa, $\epsilon > \epsilon'$

crecientes todas

$$t_{\parallel}(0) = 0, \quad t_{\parallel}(\pi/2) = \frac{2n}{n+n'}$$

$$r_{\parallel}(\pi/4) = -1, \quad r_{\parallel}(0) = \frac{n-n'}{n+n'} < 0$$

$$= -r_{\parallel}(\pi)$$

$n > n'$ \rightarrow reflexión interna $\rightarrow \exists \epsilon_e = \arcsin \frac{n'}{n}$

crecientes todas, $n > n'$

$$r_{\perp}(0) > 0 = \frac{n-n'}{n+n'} = -r_{\parallel}(0)$$

$$r_{\perp}(\pi/2) = r_{\parallel}(\pi/2) = 1$$

$$t_{\parallel}(\epsilon_e) = 2, \quad t_{\parallel}(\epsilon_e) = 2 \frac{n}{n'} > 2$$

$$\epsilon > \epsilon_e \rightarrow k'_z = n' k_0 \sqrt{\sin^2 \epsilon_e - \sin^2 \epsilon} \rightarrow k'_z = -ik$$

$\vec{E} = \vec{E}_0 e^{-ik'_z \vec{r}} \cdot e^{-k_z z} \rightarrow$ Onda evanescente, reflexión total interna frustada $\ell_p = \frac{1}{k} \rightarrow$ longitud de penetración

$$n \cos \epsilon' = -\frac{ik}{n' k_0} \quad K = \sqrt{\sin^2 \epsilon - (n'/n)^2} \rightarrow r_{\parallel} = \frac{c+id}{c-id} \quad |r_{\parallel}| = 1$$

\rightarrow desfase relativa $\delta: \delta = \delta_r - \delta_{\parallel}, 2\phi_{\parallel\perp} = \delta_{\parallel\perp} = 2 \cdot \tan \frac{\delta}{2}$

$$\tan \frac{\delta}{2} = - \frac{w \sin \epsilon}{\sin^2 \epsilon} \sqrt{\sin^2 \epsilon - (n'/n)^2}$$

$$\delta \in (0, \pi)$$

$$r_{\parallel}(0) = 0$$

$$\tan \epsilon_0 = \frac{n'}{n}$$

luz reflejada PL sólo

si $A \perp = 0 \rightarrow$ no ley reflexión

$\frac{t_{\parallel}}{r_{\parallel}}$ cambio fase $\alpha_{\parallel}/\beta_{\parallel}$

si $\epsilon < \epsilon_0$
desfase π
cambio poco nico

$$K'^2 = (K_0 n')^2 - (K_0)^2$$

$$n' \cos \epsilon$$

Ángulo emergente

$$\hat{k} = \hat{n}$$

$$\langle \vec{S}_p \cdot \hat{k} \rangle = n \frac{\epsilon_0}{2} \leq |\vec{E}_0|^2$$

$$I_N = \langle |\vec{S}_p \cdot \hat{k}| \rangle = I \cos \varepsilon$$

$$I_N' = \langle |\vec{S}_p \cdot \hat{k}'| \rangle = I' \cos \varepsilon'$$

$$I_N'' = \langle |\vec{S}_p \cdot \hat{k}''| \rangle = I'' \cos \varepsilon$$

$$I_N = I_N'' + I_N'$$

Factor de reflexión = reflectancia: $A_0 = \epsilon_0$

$$R = \frac{I_N''}{I_N} = \frac{I_N''}{I_N} = \frac{I''}{I} = \frac{|A_0|^2}{|A_0|^2}$$

Factor de transmisión = transmitancia $\quad R + T = 1$

$$T = \frac{I_N'}{I_N} = \frac{I' \cos \varepsilon'}{I \cos \varepsilon} = \frac{|A_0'|^2}{|A_0|^2} \cdot \frac{\cos \varepsilon'}{\cos \varepsilon}$$

Rel. coefic. Fresnel:

Caso I

$$T_I = \frac{n' \cos \varepsilon'}{n \cos \varepsilon} \cdot t_{II}^2$$

$$R_I = r_I^2$$

$$\frac{I_N'}{I_N} = \frac{n' \cos \varepsilon' \cdot |A_{II}|^2}{n \cos \varepsilon \cdot |A_{II}|^2} = \frac{n'}{n} t_{II}^2$$

Caso II

$$T_{II} = \frac{n}{n'} \cdot \frac{\cos \varepsilon'}{\cos \varepsilon} \cdot t_{II}^2$$

$$R_{II} = r_{II}^2$$

$$R_I + T_I = 1$$

$$R_{II} + T_{II} = 1$$

Incidencia normal:

$$R = R_I = R_{II} = \left(\frac{n - n'}{n + n'} \right)^2$$

$$T = T_I = T_{II} = \frac{4nn'}{(n + n')^2}$$